

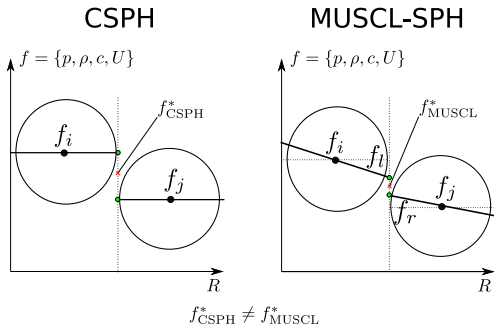


ВНИИА  
РОСАТОМ

# Повышение точности метода SPH типа Годунова путём линейной реконструкции значений на контакте частиц для моделирования вязких и упругопластических сред

ЗНЧ-2023

Рублев Георгий Дмитриевич, Паршиков А.Н.,  
Дьячков С.А.



Цель работы – повысить точность контактного метода SPH (CSPH) путём замены кусочно-постоянной интерполяции величин на контакте кусочно-линейной, аналогично схеме MUSCL (Monotonic Upstream-centered Scheme for Conservation Laws).

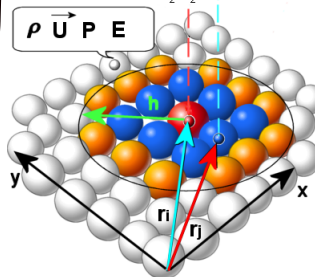
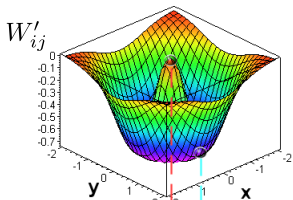
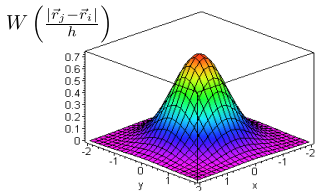
# – Smoothed Particles Hydrodynamics

$$f(\vec{r}) = \int f(\vec{r}') \delta(\vec{r}' - \vec{r}) dv$$




$$f(\vec{r}_i) = \sum_j \frac{m_j}{\rho_j} f(\vec{r}_j) W\left(\frac{|\vec{r}_j - \vec{r}_i|}{h}, h\right)$$

$$\frac{\partial}{\partial x_i^\alpha} f(\vec{r}_i) = \sum_j \frac{m_j}{\rho_j} f(\vec{r}_j) \frac{\partial}{\partial x_i^\alpha} W\left(\frac{|\vec{r}_j - \vec{r}_i|}{h}, h\right)$$



$$h = \alpha(D_i + D_j)$$

# 1. Основные уравнения и их SPH-аппроксимация

The background is a solid blue color. On the right side, there is a decorative graphic consisting of numerous thin, white, curved lines that originate from a point near the bottom right and fan out towards the top right, creating a sense of motion or a stylized wave.

## 1.1. Основные уравнения

$$\frac{1}{\rho} \frac{d\rho}{dt} = -\dot{\epsilon} = -\nabla \cdot \vec{U} \quad (1) \quad \text{Закон сохранения массы}$$

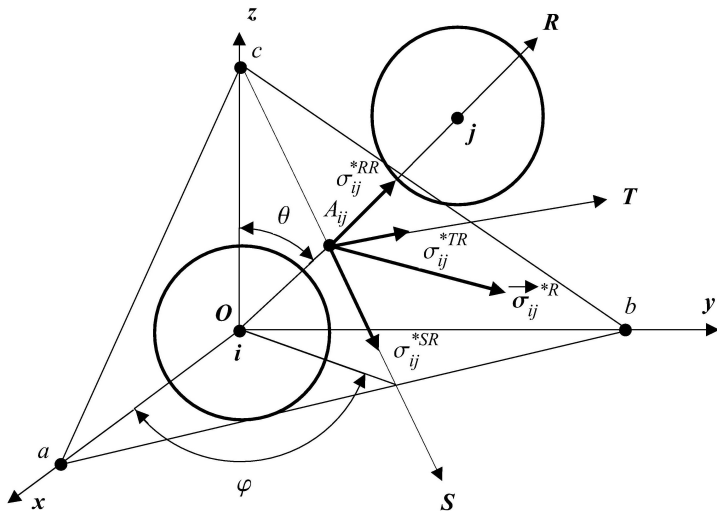
$$\rho \frac{d\vec{U}}{dt} = \nabla \cdot \hat{\sigma} \quad (2) \quad \text{Закон сохранения импульса}$$

$$\rho \frac{dE}{dt} = \nabla \cdot (\hat{\sigma} \cdot \vec{U}) \quad (3) \quad \text{Закон сохранения энергии}$$

$$\sigma^{\alpha\beta} = -pI^{\alpha\beta} + \tau^{\alpha\beta} + fS^{\alpha\beta}.$$

- Если  $\tau^{\alpha\beta} = 0$  и  $f = 0$  — получаем газ и невязкую сжимаемую жидкость.
- Если  $f = 0$  — получаем вязкую сжимаемую жидкость.
- Если  $f = 1$  — получаем сжимаемую вязкоупругую среду.
- Если  $f = \min \left[ \frac{Y_0^2}{\frac{3}{2} S^{\alpha\beta} S^{\alpha\beta}}, 1 \right]$  — получаем сжимаемую упругопластическую среду с вязкостью.

## 1.2. SPH-аппроксимация уравнений контактным методом SPH (CSPH)



## 1.2. SPH-аппроксимация уравнений контактным методом SPH (CSPH)

| Исходные уравнения   | SPH-аппроксимация   |
|--|---|
| $\frac{1}{\rho} \frac{d\rho}{dt} = -\dot{\varepsilon} = -\nabla \cdot \vec{U}$ | $\frac{d\varepsilon_i}{dt} = -2 \sum_j \frac{m_j}{\rho_j} [U_i^R - U_{ij}^{*R}] e^{\vec{R}} \cdot \nabla_i W_{ij}$  |
| $\rho \frac{d\vec{U}}{dt} = \nabla \cdot \hat{\sigma}$                         | $\begin{aligned} \frac{d\vec{U}_i}{dt} = & -2 \sum_j \frac{m_j}{\rho_j \rho_i} \left[ P_{ij}^{*lR\alpha} e^{\vec{\alpha}} - \right. \\ & \left. - (\tau + fS)_{ij}^{\gamma R*} l^{\gamma\alpha} e^{\vec{\alpha}} \right] e^{\vec{R}} \cdot \nabla_i W_{ij} \end{aligned}$ |
| $\rho \frac{dE}{dt} = \nabla \cdot (\hat{\sigma} \cdot \vec{U})$               | $\begin{aligned} \frac{dE_i}{dt} = & -2 \sum_j \frac{m_j}{\rho_j \rho_i} \left[ P_{ij}^{*} U_{ij}^{*R} - \right. \\ & \left. - (\tau + fS)_{ij}^{\gamma R*} U_{ij}^{*\gamma} \right] e^{\vec{R}} \cdot \nabla_i W_{ij} \end{aligned}$                                     |

$l^{\gamma\alpha}$  – направляющие косинусы,  $\gamma = R, S, T, \alpha = x, y, z$ .

2.

## Моделирование сжимаемых вязких сред методом CSPH

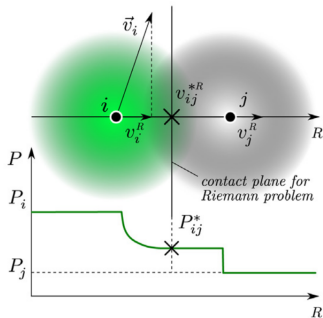


## 2.1. Распад разрыва в сжимаемой жидкой среде. Акустическое приближение

Давление и скорость в точке контакта SPH-частиц в акустическом приближении вычисляются как

$$P_{ij}^* = \frac{P_j \rho_i C_i + P_i \rho_j C_j - \rho_i C_i \rho_j C_j (U_j^R - U_i^R)}{\rho_i C_i + \rho_j C_j}, \quad (4)$$

$$U_{ij}^{*R} = \frac{U_i^R \rho_i C_i + U_j^R \rho_j C_j - P_j + P_i}{\rho_i C_i + \rho_j C_j}. \quad (5)$$



## 2.2. Схема взаимодействия SPH-частиц в вязкой среде

Компоненты вектора вязких напряжений приписываются к точке контакта  $A_{ij}$ :

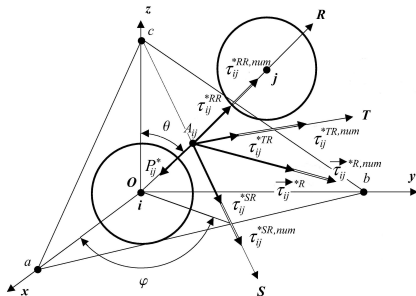
$$\tau_{ij}^{RR*} = \frac{4}{3} \eta_i \eta_j \frac{1 + \sqrt{\nu_i / \nu_j}}{\eta_i + \eta_j \sqrt{\nu_i / \nu_j}} \frac{U_j^R - U_i^R}{|\vec{r}_j^* - \vec{r}_i^*|},$$

$$\tau_{ij}^{SR*} = \eta_i \eta_j \frac{1 + \sqrt{\nu_i / \nu_j}}{\eta_i + \eta_j \sqrt{\nu_i / \nu_j}} \frac{U_j^S - U_i^S}{|\vec{r}_j^* - \vec{r}_i^*|},$$

$$\tau_{ij}^{TR*} = \eta_i \eta_j \frac{1 + \sqrt{\nu_i / \nu_j}}{\eta_i + \eta_j \sqrt{\nu_i / \nu_j}} \frac{U_j^T - U_i^T}{|\vec{r}_j^* - \vec{r}_i^*|}.$$

Компоненты скорости в точке вязкого контакта:

$$U_{ij}^{\gamma*} = \frac{\eta_i U_i^\gamma + \eta_j U_j^\gamma \sqrt{\nu_i / \nu_j}}{\eta_i + \eta_j \sqrt{\nu_i / \nu_j}}, \quad \gamma = R, S, T.$$



Компоненты напряжений при вязком распаде между частицами.

3.

# Моделирование вязкоупругих сред методом SPH

### 3.1. SPH-аппроксимация уравнений для упругой среды

$$\sigma^{\alpha\beta} = -PI^{\alpha\beta} + \tau^{\alpha\beta} + S^{\alpha\beta},$$

$$\dot{S}^{\alpha\beta} = 2G \left( \dot{\varepsilon}^{\alpha\beta} - \frac{1}{3} \delta^{\alpha\beta} \dot{\varepsilon}^{\gamma\gamma} \right) + \underbrace{S^{\alpha\gamma} \Omega^{\beta\gamma} + \Omega^{\alpha\gamma} S^{\gamma\beta}}_{\text{вращение}}.$$

Контактные значения продольных компонент скорости и напряжения в акустическом приближении имеют вид:

$$U_{ij}^{*R} = \frac{U_i^R \rho_i C_i^l + U_j^R \rho_j C_j^l + \sigma_j^{RR} - \sigma_i^{RR}}{\rho_i C_i^l + \rho_j C_j^l}, \quad (6)$$

$$\sigma_{ij}^{RR*} = \frac{\sigma_j^{RR} \rho_i C_i^l + \sigma_i^{RR} \rho_j C_j^l + \rho_i C_i^l \rho_j C_j^l (U_j^R - U_i^R)}{\rho_i C_i^l + \rho_j C_j^l}. \quad (7)$$

### 3.1. SPH-аппроксимация уравнений для упругой среды

А для поперечных компонент имеем:

$$U_{ij}^{*S} = \frac{U_i^S \rho_i C_i^l + U_j^S \rho_j C_j^l + \sigma_j^{SR} - \sigma_i^{SR}}{\rho_i C_i^l + \rho_j C_j^l}, \quad (8)$$

$$\sigma_{ij}^{SR*} = \frac{\sigma_j^{SR} \rho_i C_i^l + \sigma_i^{SR} \rho_j C_j^l + \rho_i C_i^l \rho_j C_j^l (U_j^S - U_i^S)}{\rho_i C_i^l + \rho_j C_j^l}, \quad (9)$$

$$U_{ij}^{*T} = \frac{U_i^T \rho_i C_i^l + U_j^T \rho_j C_j^l + \sigma_j^{TR} - \sigma_i^{TR}}{\rho_i C_i^l + \rho_j C_j^l}, \quad (10)$$

$$\sigma_{ij}^{TR*} = \frac{\sigma_j^{TR} \rho_i C_i^l + \sigma_i^{TR} \rho_j C_j^l + \rho_i C_i^l \rho_j C_j^l (U_j^T - U_i^T)}{\rho_i C_i^l + \rho_j C_j^l}. \quad (11)$$

4.

MUSCL-SPH  
(повышение точности  
метода)

## 4. MUSCL-SPH

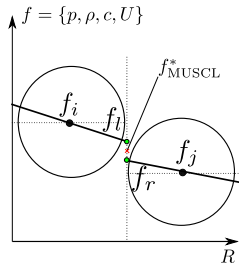
Идея метода MUSCL-SPH заключается в использовании в формулах (4)-(5) (либо (6)-(11)) вместо значений в  $i$ -й и  $j$ -й частицах их линейной интерполяции на точку межчастичного контакта слева и справа от плоскости контакта. SPH-аппроксимация градиентов физических величин имеет вид:

$$\nabla \Phi_i = \sum_j (\Phi_j - \Phi_i) \nabla_i W_{ij} \frac{m_j}{\rho_j}.$$

Значения справа и слева от контакта:

$$\Phi_l = \Phi_i + \frac{1}{2} \delta \Phi_i,$$

$$\Phi_r = \Phi_j - \frac{1}{2} \delta \Phi_j.$$



Величины  $\delta \Phi_i$  и  $\delta \Phi_j$  определяются как:

$$\delta \Phi_i = \min \text{mod}(\Phi_j - \Phi_i, \nabla \Phi_i \cdot \vec{r}_{ji}),$$

$$\delta \Phi_j = \min \text{mod}(\nabla \Phi_j \cdot \vec{r}_{ji}, \Phi_j - \Phi_i).$$

# 5. Схемная вязкость метода

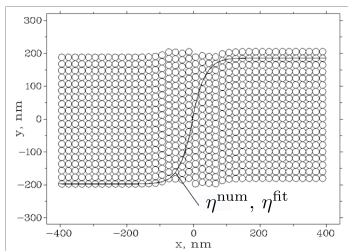
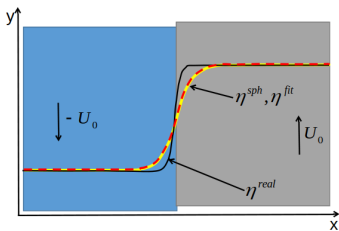
The background is a solid blue color. On the right side, there is a decorative graphic consisting of many thin, white, curved lines that originate from a single point at the bottom right and fan out towards the top right, creating a sense of motion or a stylized wave.



## 5.1. Схемная вязкость метода

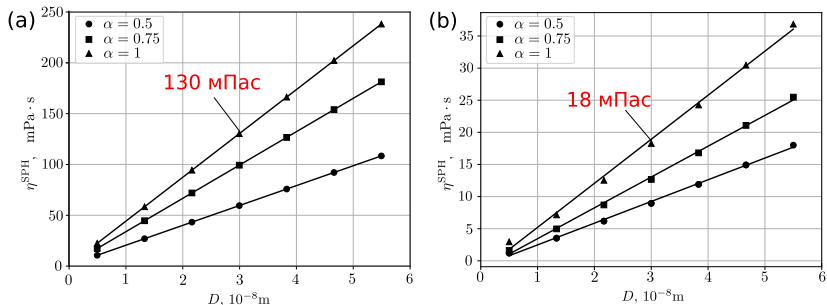
При моделировании методом SPH схемная вязкость проявляет себя идентично физической вязкости, что следует из сравнения профилей скорости, полученных при моделировании, и из аналитического решения<sup>1</sup>, описывающего распределение скорости в вязком потоке ( $\eta^{\text{num}} = \eta^{\text{fit}}$ ):

$$U_y(x,t) = U_y(x,0) \operatorname{erf} \left( \frac{x}{\sqrt{4t\eta/\rho}} \right)$$



<sup>1</sup> H. Lamb, Hydrodynamics, Cambridge Univ. Press, 1932

## 5.1. Схемная вязкость метода



Зависимость схемной вязкости жидкого свинца от размера частиц при различных значениях параметра сглаживающей длины  $\alpha$  ( $h_{ij} = \alpha(D_i + D_j)$ ): (a) метод CSPH, (b) MUSCL-SPH

**Схемная вязкость метода MUSCL-SPH в данном тесте оказалась примерно в 6-7 раз ниже.**

## 5.2. Управление вязкостью метода

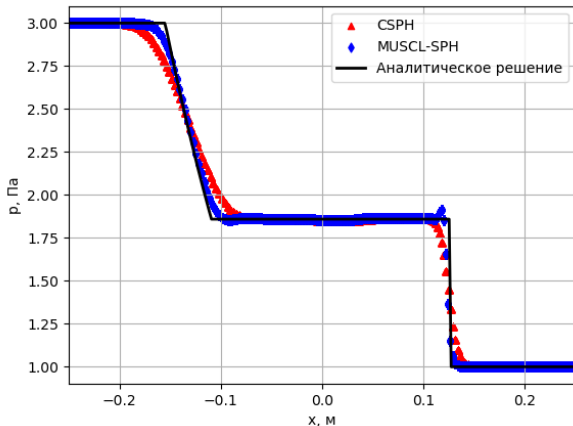
|   |                                       |
|---|---------------------------------------|
| $U_{ij}^{\gamma*} = \frac{\eta_i U_i^\gamma + \eta_j U_j^\gamma \sqrt{\nu_i/\nu_j}}{\eta_i + \eta_j \sqrt{\nu_i/\nu_j}}$                                      | $- \zeta U_{ij}^{\gamma*,\text{num}}$ |
| $\tau_{ij}^{RR*} = \frac{4}{3} \eta_i \eta_j \frac{1 + \sqrt{\nu_i/\nu_j}}{\eta_i + \eta_j \sqrt{\nu_i/\nu_j}} \frac{U_j^R - U_i^R}{ \vec{r}_j - \vec{r}_i }$ | $- \zeta \tau_{ij}^{RR*,\text{num}}$  |
| $\tau_{ij}^{SR*} = \eta_i \eta_j \frac{1 + \sqrt{\nu_i/\nu_j}}{\eta_i + \eta_j \sqrt{\nu_i/\nu_j}} \frac{U_j^S - U_i^S}{ \vec{r}_j - \vec{r}_i }$             | $- \zeta \tau_{ij}^{SR*,\text{num}}$  |
| $\tau_{ij}^{TR*} = \eta_i \eta_j \frac{1 + \sqrt{\nu_i/\nu_j}}{\eta_i + \eta_j \sqrt{\nu_i/\nu_j}} \frac{U_j^T - U_i^T}{ \vec{r}_j - \vec{r}_i }$             | $- \zeta \tau_{ij}^{TR*,\text{num}}$  |
| Физическая<br>вязкость  | Компенсация<br>схемной<br>вязкости    |

$\zeta \in [0, 1]$  – степень корректировки.

6.

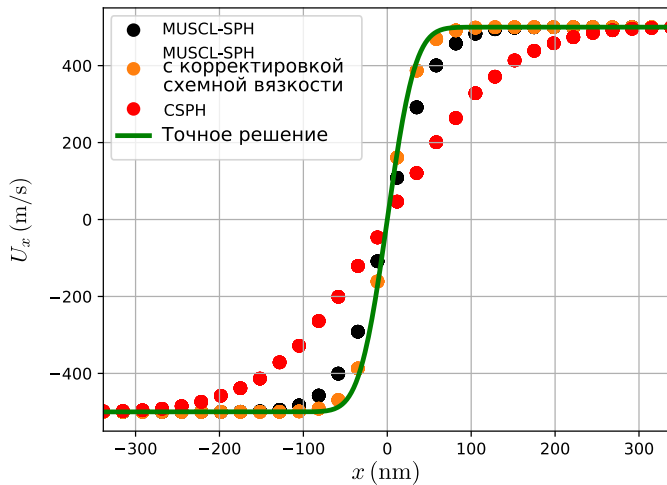
# Результаты тестовых расчётов

## 6.1. Распад разрыва в газе



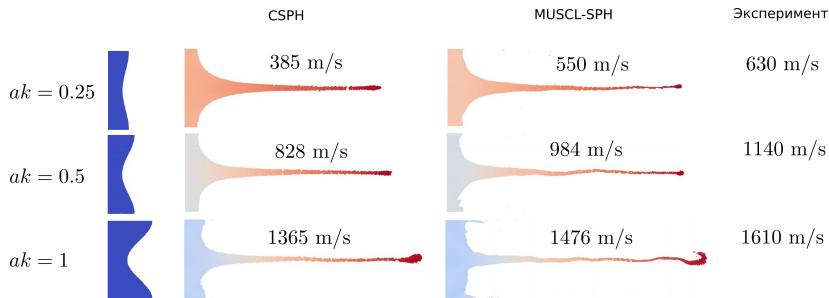
Сравнение профилей давления в задаче о распаде разрыва в идеальном газе, полученных методом CSPH и методом MUSCL-SPH, с аналитическим решением.

## 6.2. Диффузия вязкого разрыва в однородной жидкости



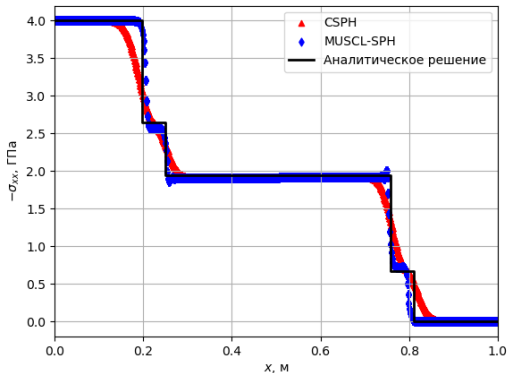
Диффузия вязкого разрыва в жидком уране при  $t = 1$  нс.

## 6.3. Моделирование кумулятивных струй



Моделирование процесса пыления гофрированной свободной поверхности (олово). Экспериментальные данные взяты из работы Buttler W.T. et al. Unstable Richtmyer–Meshkov growth of solid and liquid metals in vacuum // J. Fluid Mech. — Vol. 703. — P. 60–84. — 2012.

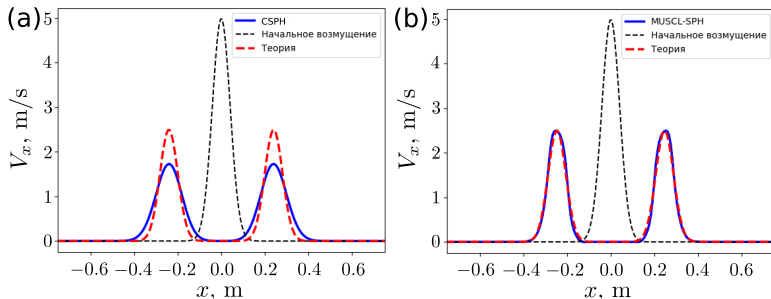
## 6.4. Распад разрыва в упругопластической среде



Сравнение профилей компоненты тензора напряжений  $\sigma_{xx}$  в задаче о распаде разрыва в упругопластической среде (алюминий), рассчитанных методом CSPH и методом MUSCL-SPH с аналитическим решением.



## 6.5. Распространение звуковой волны в упругой среде



Моделирование распространения продольной звуковой волны в алюминии: (a) методом CSPH, (b) методом MUSCL-SPH.

7.

Использование матрицы  
нормализации при расчёте  
тензора скоростей  
деформаций

## 7.1. Нормализация при расчёте тензора скоростей деформаций

Рассмотрим следующую SPH-сумму:

$$\sum_j \tilde{U}_{ij}^\alpha \nabla_i W_{ij} \frac{m_j}{\rho_j},$$

где  $\tilde{U}_{ij}^\alpha$  – значение  $\alpha$ -компоненты скорости в точке по середине между центрами частиц  $i$  и  $j$ . Подставляя вместо  $\tilde{U}_{ij}^\alpha$  разложение в ряд Тейлора с центром в точке  $i$  получаем:

$$\nabla U_i^\alpha = \sum_j 2(\tilde{U}_{ij}^\alpha - U_i^\alpha) \mathbb{L}_i \nabla_i W_{ij} \frac{m_j}{\rho_j},$$

## 7.1. Нормализация при расчёте тензора скоростей деформаций

где

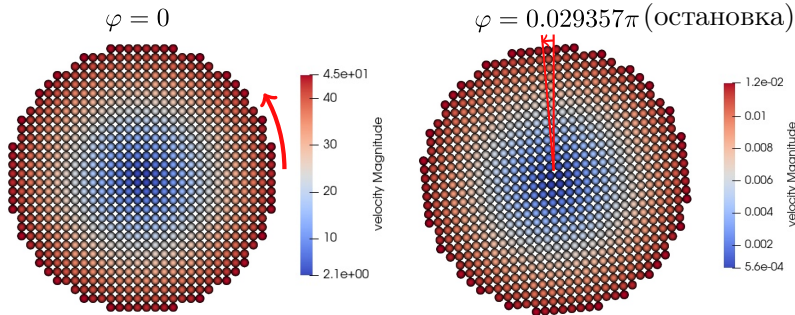
$$\mathbb{L}_i = \sum_j \frac{m_j}{\rho_j} \begin{pmatrix} (r_j^x - r_i^x) \frac{\partial W_{ij}}{\partial x} & (r_j^y - r_i^y) \frac{\partial W_{ij}}{\partial x} & (r_j^z - r_i^z) \frac{\partial W_{ij}}{\partial x} \\ (r_j^x - r_i^x) \frac{\partial W_{ij}}{\partial y} & (r_j^y - r_i^y) \frac{\partial W_{ij}}{\partial y} & (r_j^z - r_i^z) \frac{\partial W_{ij}}{\partial y} \\ (r_j^x - r_i^x) \frac{\partial W_{ij}}{\partial z} & (r_j^y - r_i^y) \frac{\partial W_{ij}}{\partial z} & (r_j^z - r_i^z) \frac{\partial W_{ij}}{\partial z} \end{pmatrix}.$$

В качестве оценки  $\tilde{U}_{ij}^\alpha$  будем использовать распадное значение скорости  $U_{ij}^{*\alpha}$ :

$$\nabla U_i^\alpha = \sum_j 2(U_{ij}^{*\alpha} - U_i^\alpha) \mathbb{L}_i \nabla_i W_{ij} \frac{m_j}{\rho_j},$$

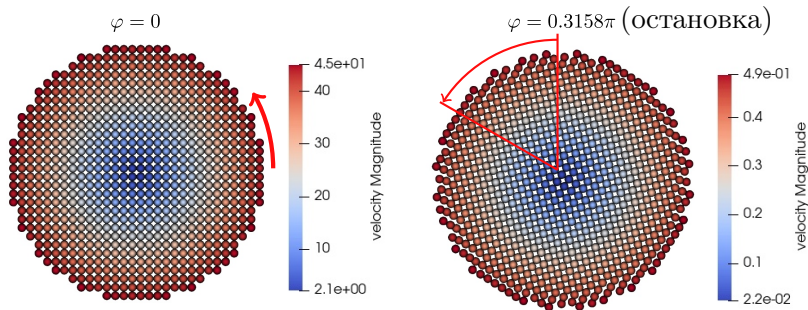
Полученные таким образом производные компонент скорости по координатам будем использовать для расчёта тензора скоростей деформаций.

## 7.2. Вращение упругого цилиндра (2D)



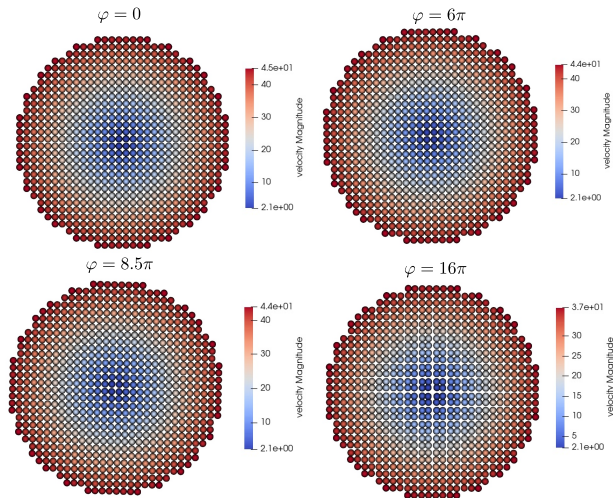
Вращение алюминиевого цилиндра радиусом 1.5 м с начальной скоростью вращения 30 рад/с. Метод CSPH.

## 7.2. Вращение упругого цилиндра (2D)



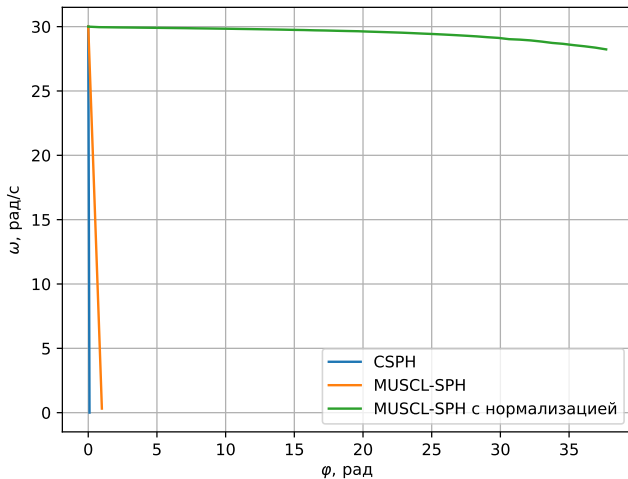
Вращение алюминиевого цилиндра радиусом 1.5 м с начальной скоростью вращения 30 рад/с. Метод MUSCL-SPH без нормализации скоростей деформации.

## 7.2. Вращение упругого цилиндра (2D)



Вращение алюминиевого цилиндра радиусом 1.5 м с начальной скоростью вращения 30 рад/с. Метод MUSCL-SPH с нормализацией скоростей деформаций.

## 7.2. Вращение упругого цилиндра (2D)



Зависимость угловой скорости от угла поворота.



# Спасибо за внимание

Рублев Георгий Дмитриевич, Паршиков А.Н., Дьячков С.А.

E-mail: [rublev\\_gd\\_97@vk.com](mailto:rublev_gd_97@vk.com)

**30.05.2023**